

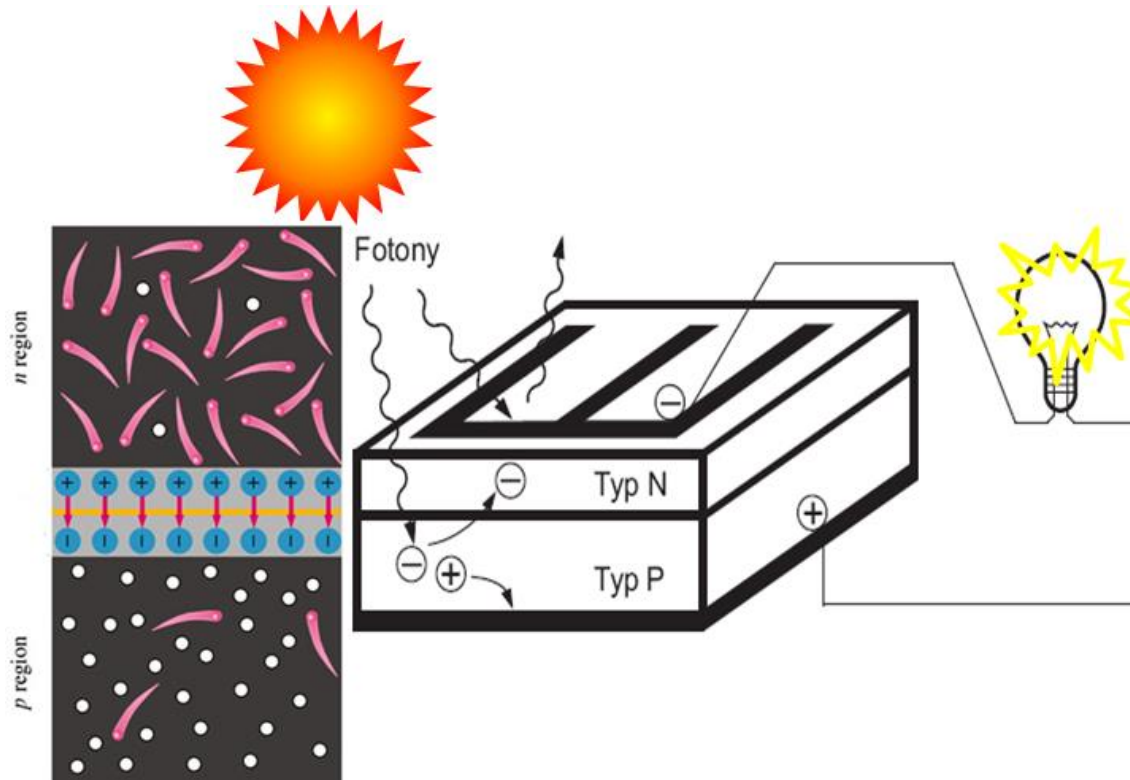
# **Wykład 10**

## **Ogniwo słoneczne**

# Efekt fotowoltaiczny

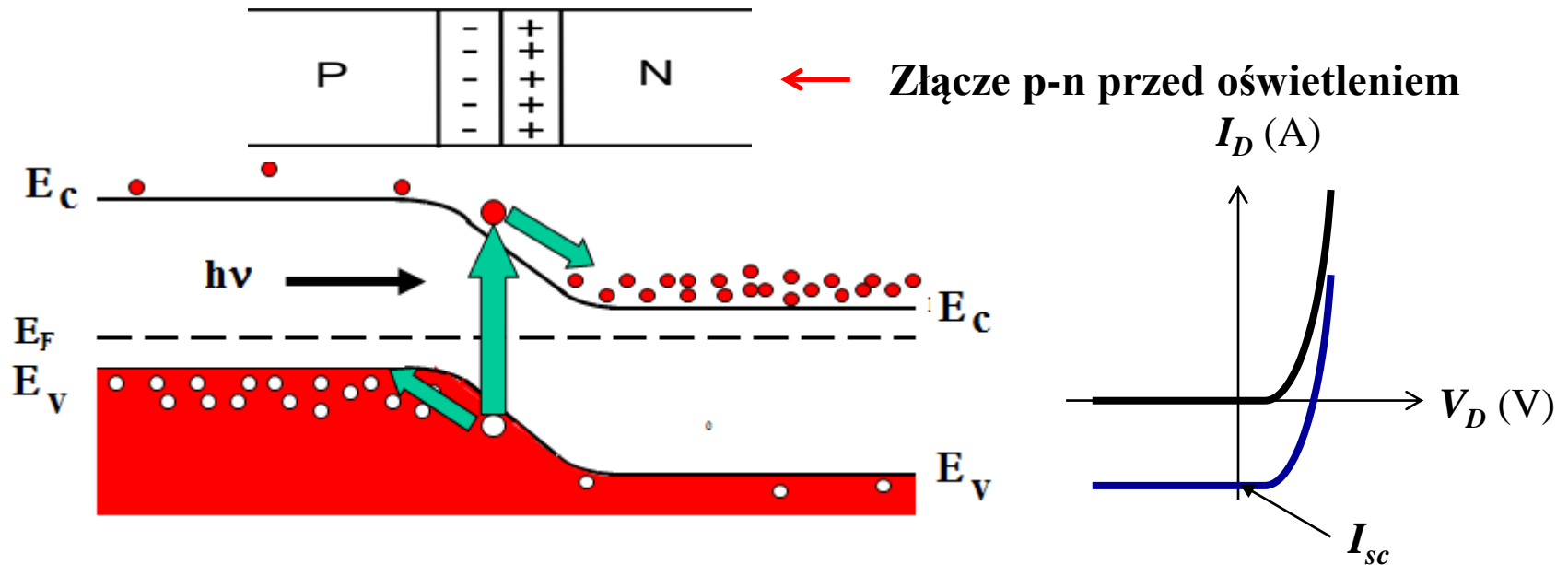
$$h\nu \geq E_g$$

Światło jest absorbowane, tworzą się pary elektron-dziura, które są separowane przez pole w złączu i transportowane przez złącze – gdy złącze jest zwarte - płynie prąd zwarcia,  $I_{sc}$ .



# Efekt fotowoltaiczny

- Złącze jest zwarte



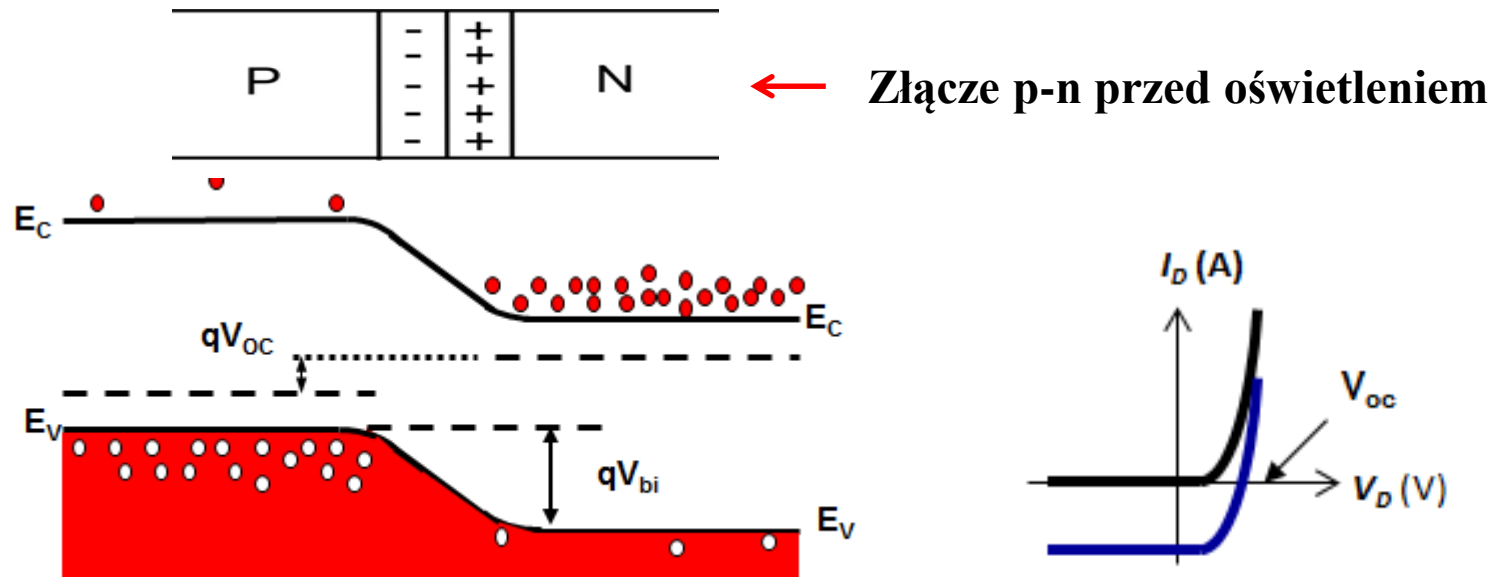
Bariera potencjału na złączu nie zmienia się. Gęstości prądów wstrzykiwania są takie same jak w złączu nieoświetlonym. Prądy te równoważą prądy generacji termicznej ale pozostają niezrównoważone prądy fotogeneracji. Stanowią je: strumień elektronów z obszaru p do n i dziur z n do p.

$$I_{sc} = qN_{ph}(E_g) = qP/h\nu \sim P$$

Prąd zwarcia jest proporcjonalny do strumienia padającego promieniowania.

# Efekt fotowoltaiczny

- Złącze jest rozwarte



- Wygenerowane światłem elektrony płyną do obszaru n a dziury do obszaru p. W wyniku tego obszar typu n ładuje się ujemnie a typu p – dodatnio. Taka polaryzacja obszarów złącza jest równoważna polaryzacji w kierunku przewodzenia. Wartość tego napięcia polaryzacji nazywa się fotonapięciem rozwarcia  $V_{oc}$ .
- Obniżenie bariery potencjału w złączu p-n powoduje, że rośnie prąd wstrzykiwania. W stanie równowagi, ten prąd wstrzykiwania jest równoważony prądami fotogeneracji.

$$I_{sc} - I_d = 0$$

# Efekt fotowoltaiczny

Prąd ciemny płynący przez złącze p-n spolaryzowane napięciem  $V_{oc}$ , wyraża się równaniem:

$$I_d = I_0 \left[ \exp\left(\frac{qV_{oc}}{kT}\right) - 1 \right]$$

Ten prąd równoważy w rozwartym oświetlonym złączu p-n maksymalny prąd fotogeneracji, czyli  $I_{sc}$ :

$$I_{sc} = I_d = I_0 \left[ \exp\left(\frac{qV_{oc}}{kT}\right) - 1 \right]$$

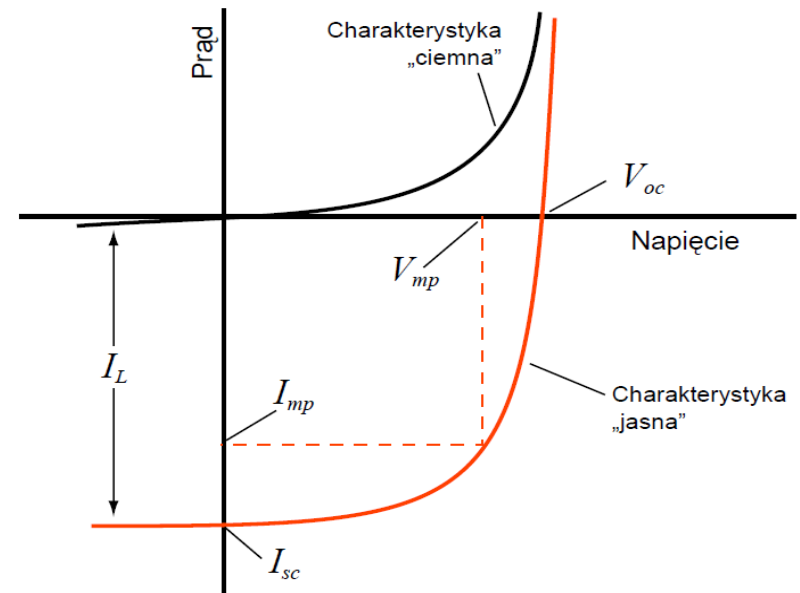
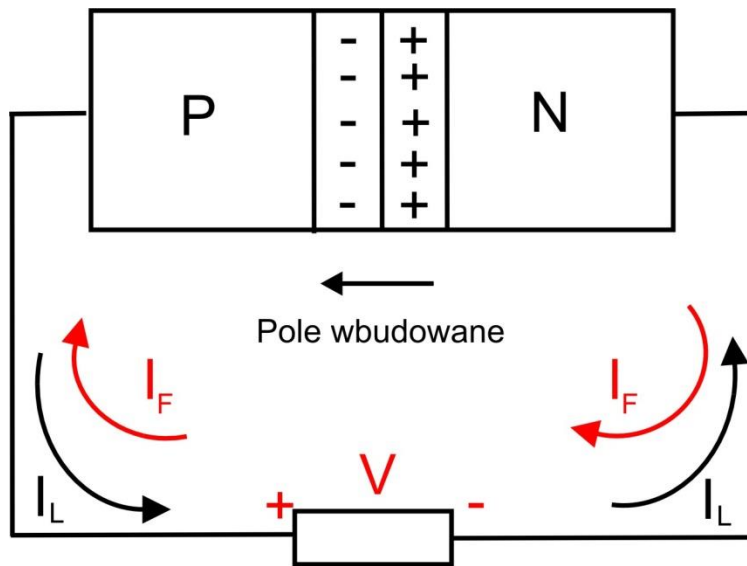
Po przekształceniu:

$$V_{oc} = \frac{kT}{q} \ln\left(\frac{I_{sc}}{I_0} + 1\right) \approx \frac{kT}{q} \ln \frac{I_{sc}}{I_0}$$

Ponieważ  $I_{sc} \sim P$ , to

$$V_{oc} \sim \ln P$$

# Charakterystyka I-V

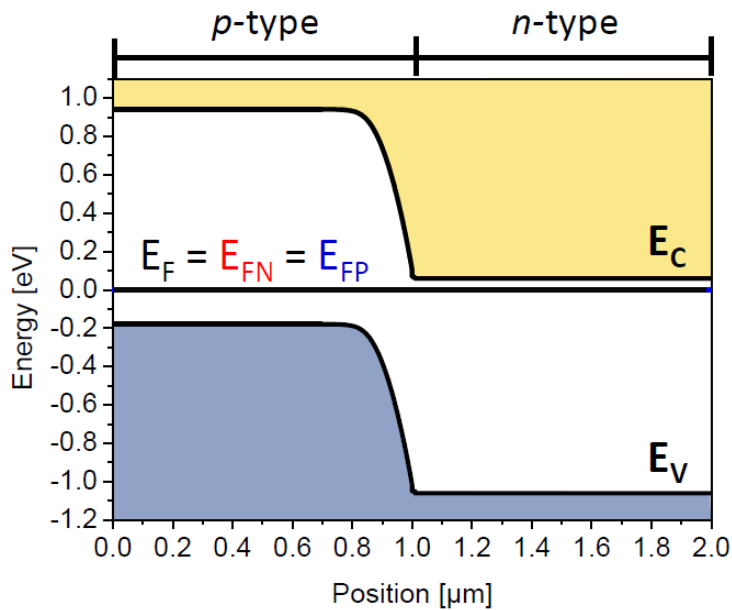


- Światło generuje parę elektron-dziura.
- Pole elektryczne porusza nośniki: elektrony w stronę n a dziury w stronę p  
Zatem przez opornik płynie prąd wsteczny  $I_L$
- Ten prąd powoduje pojawienie się spadku napięcia  $V$  na oporze  $R_L$ .
- Napięcie  $V$  polaryzuje złącze w kierunku przewodzenia: pojawia się więc prąd  $I_F$

Całkowity prąd:

$$I = I_L - I_F$$

# Złącze nieoświetlone



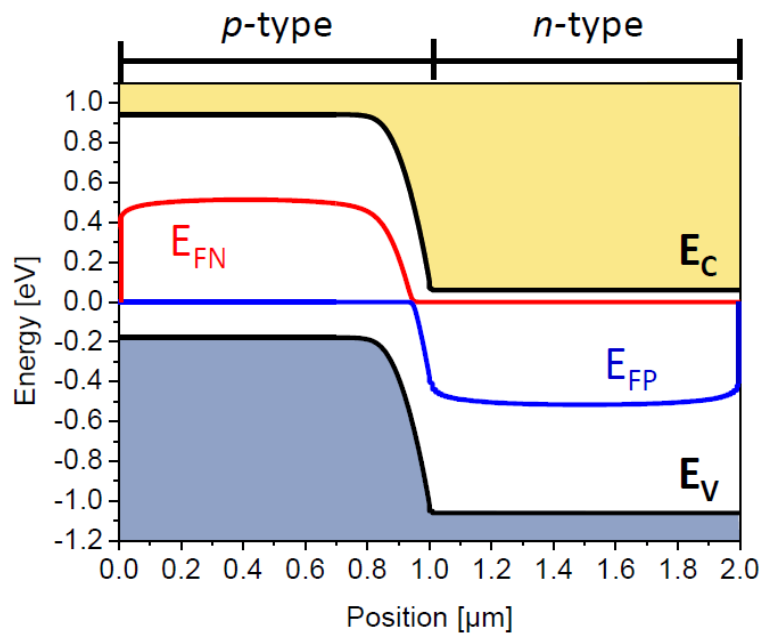
**Si**

<i>p</i> -type layer	<i>n</i> -type layer
1 $\mu\text{m}$ thick $N_A = 10^{16} \text{ cm}^{-3}$	1 $\mu\text{m}$ thick $N_D = 10^{18} \text{ cm}^{-3}$

# Złącze oświetlone zwarte

Nadmiarowe elektrony po stronie n i dziury po stronie p wykreowane oświetleniem powodują pojawienia się kwazi-poziomów Fermiego  $E_{Fn}$  i  $E_{Fp}$ . Wewnątrz złącza płynie prąd wywołany gradientem kwazi-poziomów Fermiego (**wykład VIII**):

$$J = J_n + J_p = \mu_n n \frac{dE_{Fn}}{dx} + \mu_p p \frac{dE_{Fp}}{dx}$$



$V=0$  (zwarte)

$$G = 10^{20} \text{ cm}^{-3}\text{s}^{-1}$$

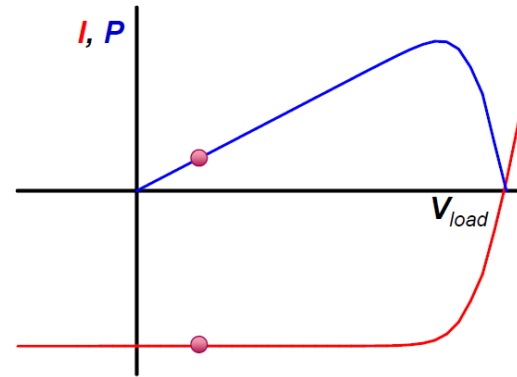
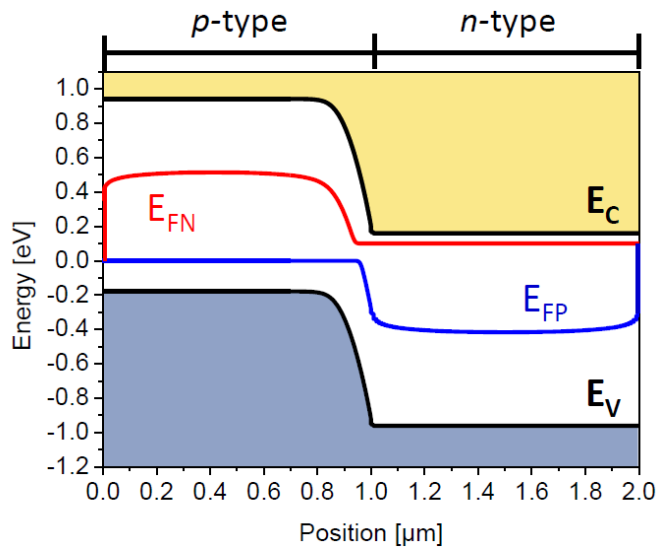
$$\tau = 10^{-4} \text{ s}$$

$$\Delta n = 10^{16} \text{ cm}^{-3}$$

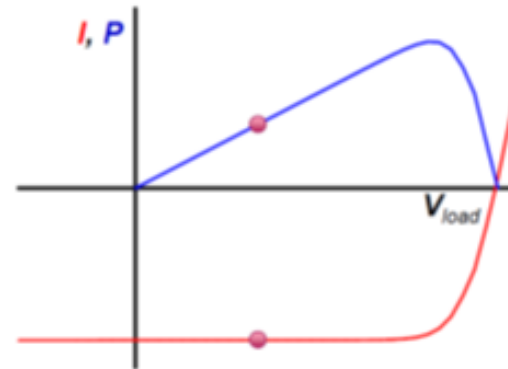
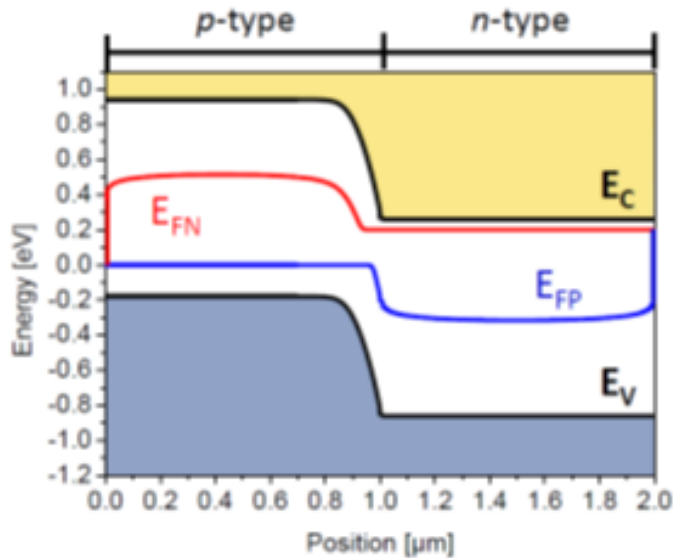
$$\Delta p = 10^{16} \text{ cm}^{-3}$$



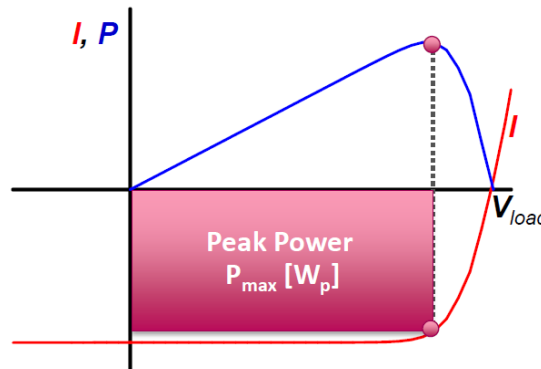
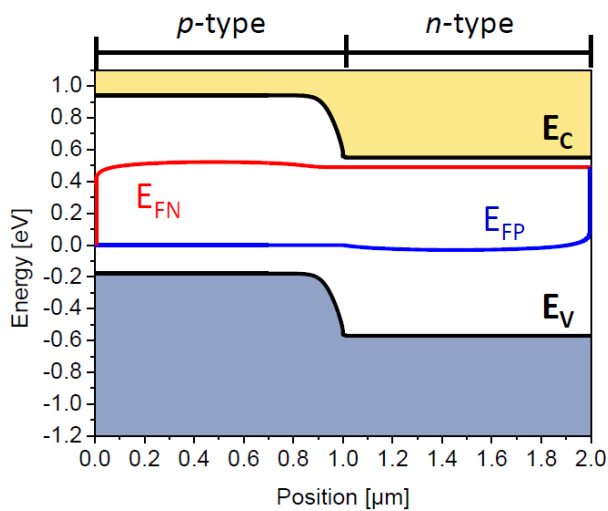
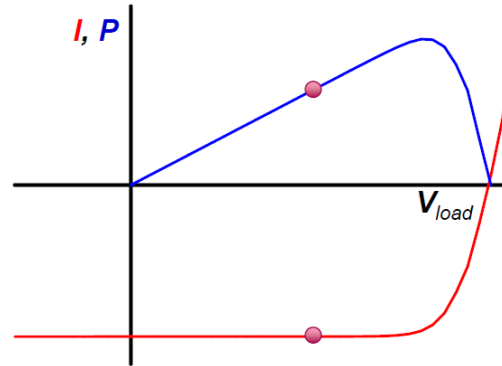
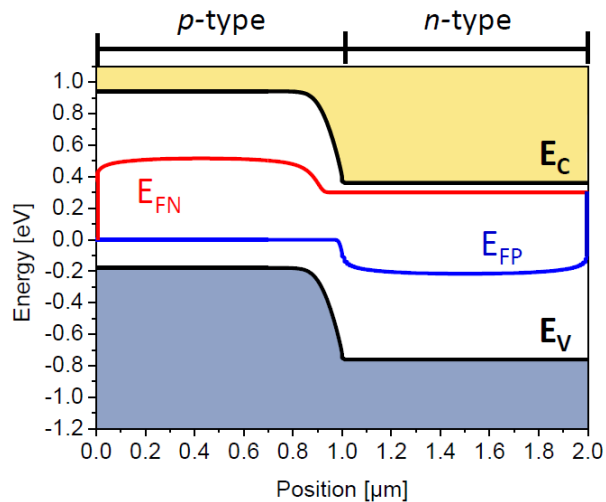
# Złącze oświetlone z obciążeniem



spolaryzowane w kierunku przewodzenia

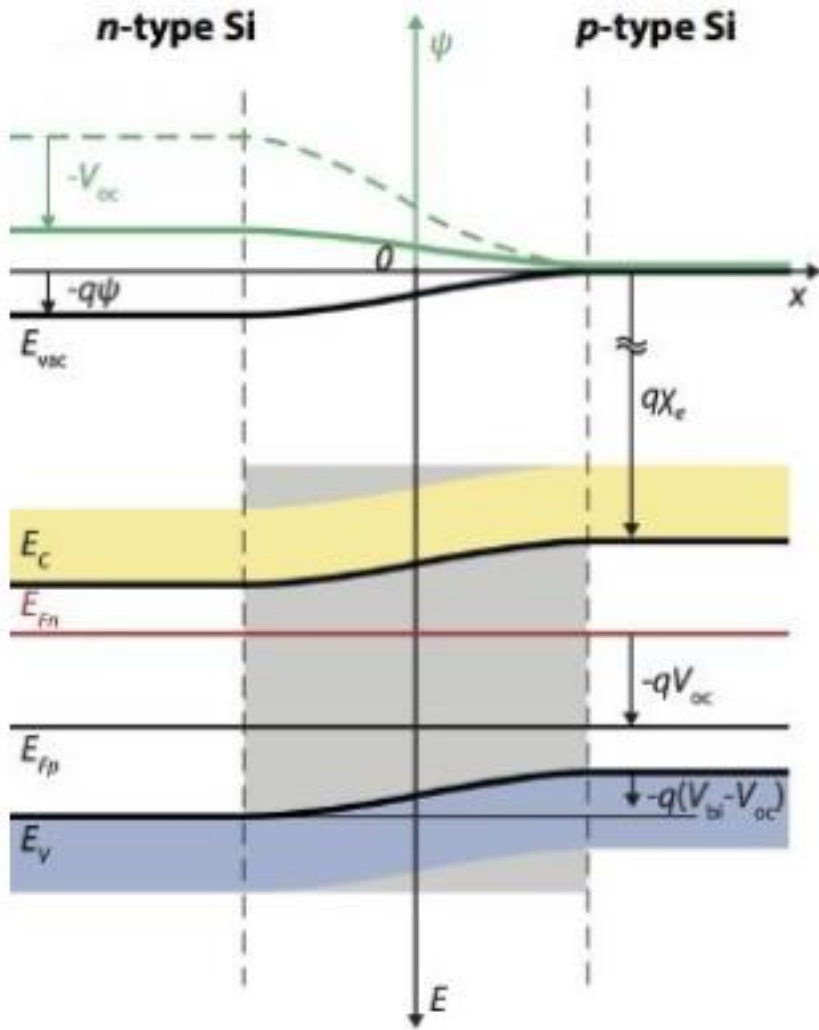


# Złącze oświetlone z obciążeniem



**Fotoprąd maleje w miarę jak gradient poziomów Fermiego maleje.**

# Złącze rozwarte

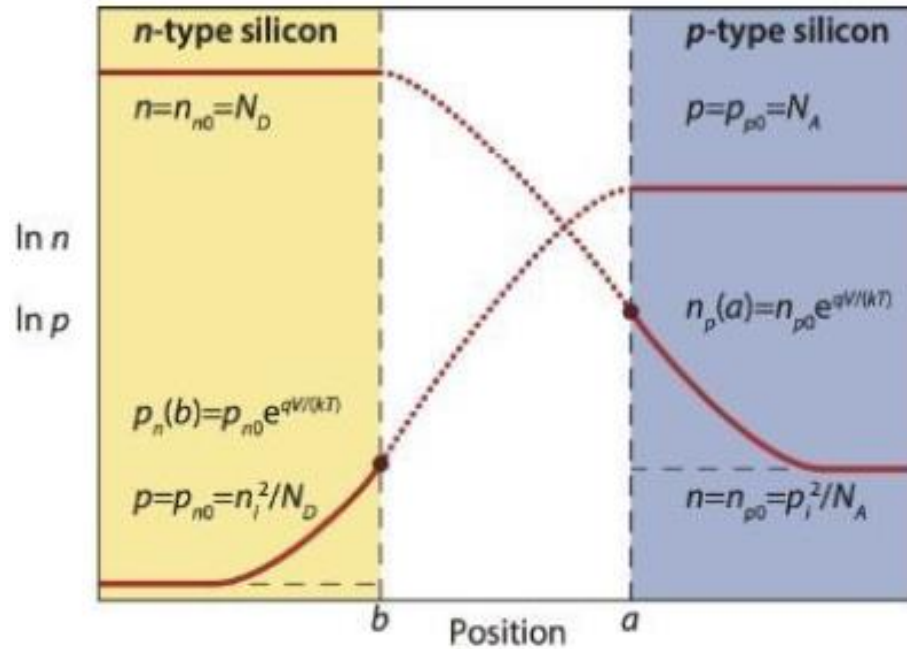


$$J = J_n + J_p = \mu_n n \frac{dE_{Fn}}{dx} + \mu_p p \frac{dE_{Fp}}{dx} = 0.$$

$$\frac{dE_{Fn}}{dx} \equiv \frac{dE_{Fp}}{dx} \equiv 0,$$

**Jeśli oświetlone złącze jest rozwarte,  
nie ma gradientów kwazi-poziomów  
Fermiego**

# Równanie ciągłości dla nieoświetlonego złącza p-n



Z równania ciągłości w stanie stacjonarnym, przy założeniu, że do złącza przykładamy napięcie i płynie tylko prąd dyfuzyjny: elektronów wstrzykniętych do obszaru p i dziur do obszaru n (**wykład VIII**).

$$\frac{1}{q} \frac{dJ_n}{dx} - R_n = 0$$

$$-\frac{1}{q} \frac{dJ_p}{dx} - R_p = 0$$

$$D_n \frac{d^2 \delta n}{dx^2} = \frac{\delta n}{\tau_n} \Rightarrow \delta n(x) = \Delta n e^{-x/L_n}$$

$$D_p \frac{d^2 \delta p}{dx^2} = \frac{\delta p}{\tau_p} \Rightarrow \delta p(x) = \Delta p e^{-x/L_p}$$

# Fotoprąd w złączu p-n

Po oświetleniu złącza ( $g$  - szybkość generacji optycznej):

$$\frac{1}{q} \frac{dJ_n}{dx} - R_n + g_L = 0$$

$$-\frac{1}{q} \frac{dJ_p}{dx} - R_p + g_L = 0$$

$$D_n \frac{d^2 \delta n}{dx^2} = \frac{\delta n}{\tau_n} - g_L$$

$$\frac{d^2 \delta n}{dx^2} = \frac{\delta n}{D_n \tau_n} - \frac{g_L}{D_n}$$

I analogicznie dla dziur:

$$\frac{d^2 \delta p}{dx^2} = \frac{\delta p}{D_p \tau_p} - \frac{g_L}{D_p}$$

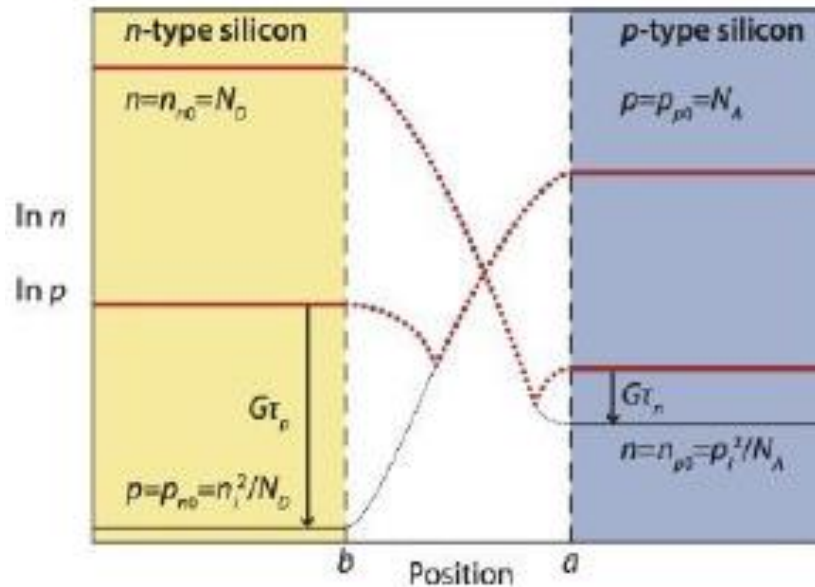
Zakładając, że  $\frac{g_L}{D_n} = C$  oraz  $\frac{g_L}{D_p} = C'$ , otrzymujemy rozwiązanie:

$$\delta_n(x) = g_L \tau_n + C \exp\left(\frac{x}{L_n}\right) + A \exp\left(-\frac{x}{L_n}\right)$$

$$\delta_p(x') = g_L \tau_p + C' \exp\left(\frac{x'}{L_p}\right) + A' \exp\left(-\frac{x'}{L_p}\right)$$

Stałe  $C$ ,  $A$  i  $C'$ ,  $A'$  wyznacza się z warunków brzegowych

# Fotoprąd w złączu p-n



1. Dla  $x' = 0$ ,  $p_n(b) = p_{n0} \exp\left(\frac{qV}{kT}\right)$

1. Dla  $x = 0$ ,  $n_p(a) = n_{p0} \exp\left(\frac{qV}{kT}\right)$

2. Dla  $x' \rightarrow \infty$ ,  $p_n$  jest skończone, więc  $C'=0$     2. Dla  $x \rightarrow \infty$ ,  $n_p$  jest skończone, więc  $C=0$

$\delta_n(0) = n_p(a) - n_{p0} = g_L \tau_n + A \quad \longrightarrow$

$$A = n_p(a) - n_{p0} - g_L \tau_n = n_{p0} \left( \exp\left(\frac{qV}{kT}\right) - 1 \right) - g_L \tau_n$$

## Fotoprąd w złączu p-n

$$n_p(x) = n_{p0} + g_L \tau_n + \left[ n_{p0} \left( \exp \frac{qV}{kT} - 1 \right) - g_L \tau_n \right] \exp \left( -\frac{x}{L_n} \right)$$

$$p_n(x') = p_{n0} + g_L \tau_p + \left[ p_{n0} \left( \exp \frac{qV}{kT} - 1 \right) - g_L \tau_p \right] \exp \left( -\frac{x'}{L_p} \right)$$

Podstawiamy te równania do wzorów  $j_n(x) = qD_n \frac{dn}{dx}$  oraz  $j_p(x) = -qD_p \frac{dp}{dx}$

$$j_n(x) = \frac{qD_n n_{p0}}{L_n} \left( \exp \frac{qV}{kT} - 1 \right) \exp \left( -\frac{x}{L_n} \right) - qg_L L_n \exp \left( -\frac{x}{L_n} \right)$$

$$j_p(x) = \frac{qD_p p_{n0}}{L_p} \left( \exp \frac{qV}{kT} - 1 \right) \exp \left( -\frac{x'}{L_p} \right) - qg_L L_p \exp \left( -\frac{x'}{L_p} \right)$$

Wkład do fotoprądu pochodzący z obszaru zubożonego:

$$j_n(x=0) = q \int_{-W}^0 -g_L dx = -qg_L W \quad \text{lub} \quad j_p(x'=0) = q \int_{-W}^0 -g_L dx' = -qg_L W$$

# Fotoprąd w złączu p-n

- Wkład do fotoprądu pochodzący z obszaru zubożonego:

$$j_n(x=0) = q \int_{-W}^0 -g_L dx = -qg_L W \quad \text{lub} \quad j_p(x'=0) = q \int_{-W}^0 -g_L dx' = -qg_L W$$

- Całkowity fotoprąd:

$$j(V) = j_n(x=0) + j_p(x'=0) = \left( \frac{qD_n n_{p0}}{L_n} + \frac{qD_p p_{n0}}{L_p} \right) \left( \exp \frac{qV}{kT} - 1 \right) - qg_L(L_n + L_p + W)$$

$$j(V) = j_0 \left( \exp \frac{qV}{kT} - 1 \right) - j_F \quad j_F = qg_L(L_n + L_p + W)$$

Założenia, które przyjęto wyprowadzając to równanie:

- przybliżenie obszaru zubożonego
- przybliżenie Boltzmann
- niski poziom wzbudzenia
- zasada superpozycji
- nieskończona grubość obszarów domieszkowanych
- jednorodna szybkość generacji



# Fotoprąd

Aby policzyć fotoprąd generowany strumieniem fotonów  $\Phi_{ph,\lambda}$  gdy szybkość generacji nie jest jednorodna korzystamy z relacji między szybkością generacji nośników  $g_L(x)$  i profilem absorpcji  $A(x)$  :

$$g_L(x) = \eta_g A(x) \quad \left[ \frac{1}{m^3 s} \right],$$

$\eta_g$  wydajność kwantowa generacji nośników.

$$\Phi_{ph,\lambda} = \frac{I_\lambda}{hc/\lambda}$$

Strumień fotonów na głębokości  $x$  zgodnie z prawem Lamberta, gdzie  $R(\lambda)$  – widmowy współczynnik odbicia:

$$\Phi_{ph,\lambda}(x) = \Phi_{ph,\lambda}(0) \exp(-\alpha(\lambda)x) = \Phi_{ph,\lambda}(1 - R(\lambda)) \exp(-\alpha(\lambda)x)$$

Jeśli założymy, że spadek strumienia fotonów (tzn. absorpcja fotonów) powoduje kreację par elektron-dziura, generacja w cienkiej warstwie materiału będzie równa zmianie strumienia fotonów w tej warstwie. Zatem różniczkując powyższe równanie po  $x$  otrzymamy szybkość generacji w dowolnym punkcie materiału. Zatem spektralna szybkość generacji nośników pod wpływem oświetlenia fotonami o długości fali  $\lambda$ , czyli liczba par elektron-dziura kreowanych na głębokości  $x$  na sekundę, na jednostkę objętości i jednostkową długość fali:

$$g_{L,\lambda}(x) = \frac{\eta_g d\Phi_{ph,\lambda}(x)}{dx} = \eta_g \Phi_{ph,\lambda} \alpha(\lambda) (1 - R(\lambda)) \exp(-\alpha(\lambda)x) \quad \left[ \frac{1}{m^4 s} \right]$$

# Fotoprąd

Szybkość generacji optycznej nośników  $G_L(x)$ :

$$g_L(x) = \int_{\lambda_1}^{\lambda_2} g_{L,\lambda}(x) d\lambda = \int_{\lambda_1}^{\lambda_2} \eta_g \Phi_{ph,\lambda} \alpha(\lambda) (1 - R(\lambda)) \exp(-\alpha(\lambda)x) d\lambda \quad \left[ \frac{1}{m^3 s} \right]$$

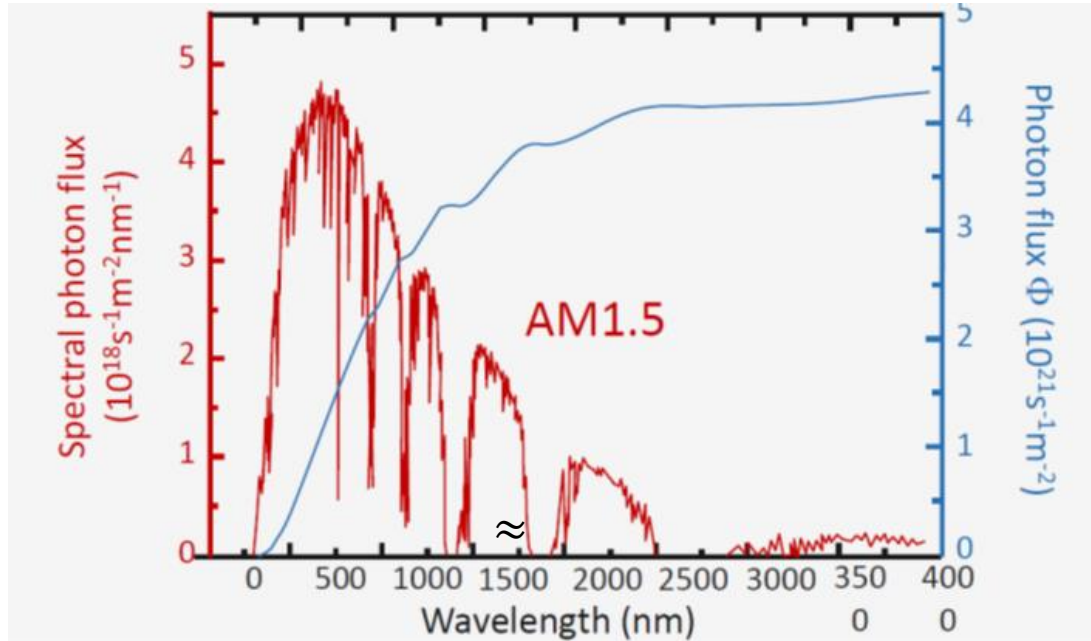
Porównując z :

$$g_L(x) = \eta_g A(x) \quad \left[ \frac{1}{m^3 s} \right], \quad \text{Otrzymujemy;}$$

$$A(x) = \int_{\lambda_1}^{\lambda_2} \Phi_{ph,\lambda} \alpha(\lambda) (1 - R(\lambda)) \exp(-\alpha(\lambda)x) d\lambda$$

$$J_f = q\eta_g \int_0^W A(x) dx \quad \left[ \frac{A}{m^2} \right]$$

# Przykład



Fotoprąd dla ogniwa oświetlanego w warunkach AM1.5 o przerwie wzbronionej 0,6eV, w którym  $\eta_g = 1$  i światło nie ulega odbiciu ( $R = 0$ ):

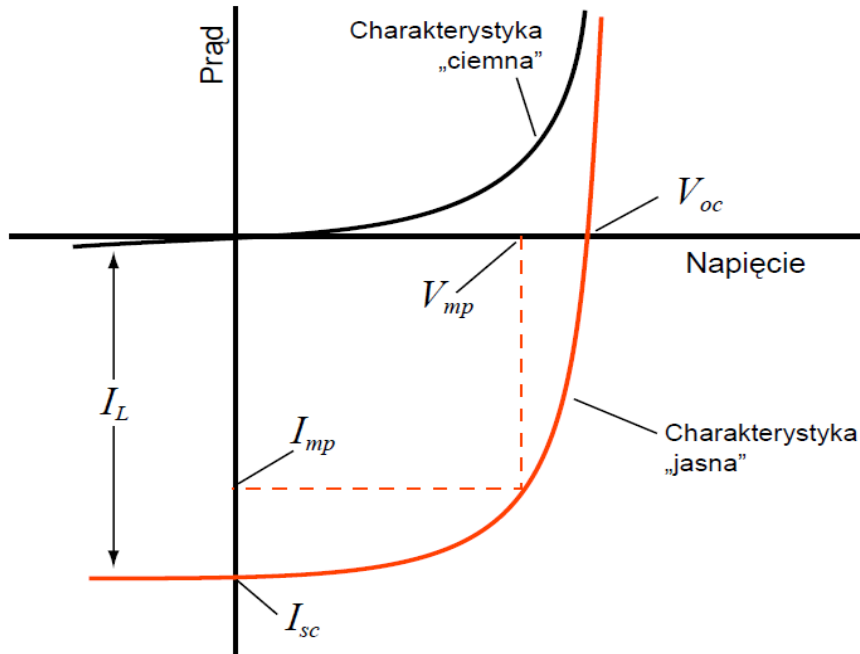
$$J_f = q\eta_g \int_0^{2200\text{nm}} \Phi_{ph,\lambda} \left( 1 - \overbrace{e^{-\alpha(\lambda)x}}^{\approx 0} \right) d\lambda = 1,6 \cdot 10^{-19} \cdot 4 \cdot 10^{21} = 640 \frac{A}{m^2} = 64 \text{mA/cm}^2$$

## Zadanie 2

Obliczyć gęstość fotoprądu generowanego w próbce c-Si o grubości  $z = 300\mu m$ , która jest oświetlana światłem o natężeniu  $1000W/m^2$  i długości fali równej  $500nm$ . Stałe optyczne dla c-Si przy tej długości fali są następujące: współczynnik załamania  $n = 4,293$ , współczynnik ekstynkcji  $\kappa = 0,045$  i współczynnik absorpcji  $\alpha = 1,11 \cdot 10^4 cm^{-1}$ . Założyć, że każdy foton generuje jedną parę elektron-dziura.

Odp.  $248.31A/m^2$

# Sprawność ogniwa



Współczynnik wypełnienia

$$FF = \frac{j_{mp} \cdot V_{mp}}{j_{sc} \cdot V_{OC}}$$

W przypadku idealnej diody

$$FF = \frac{v_{OC} - \ln(v_{OC} + 0.72)}{v_{OC} + 1} \quad *$$

gdzie  $v_{OC} = V_{OC} \frac{q}{kT}$

(równanie \* jest słuszne, gdy  $v_{OC} > 10$ )

Sprawność

$$\eta = \frac{P_{max}}{I} = \frac{j_{mp} \cdot V_{mp}}{I} = \frac{FF \cdot j_{sc} \cdot V_{OC}}{I}$$

I – natężenie promieniowania padającego na ogniwo ( $AM1.5, 1000W/m^2$ )

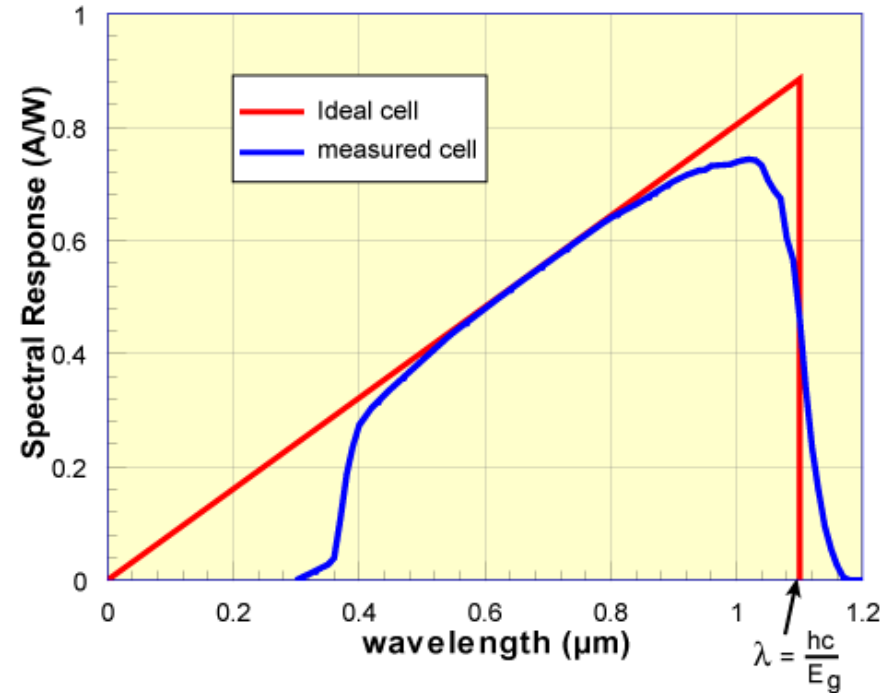
# Czułość widmowa

$$S_R(\lambda) = \frac{I_{ph}(\lambda)}{P_\lambda \Delta\lambda} \quad \left[ \frac{A}{W} \right]$$

$$S_R(\lambda) = \frac{I_{ph}(\lambda)}{P_\lambda \Delta\lambda} = \frac{I_{ph}(\lambda)}{\Psi_{ph,\lambda} h c \Delta\lambda} \cdot \lambda \quad \left[ \frac{A}{W} \right]$$

gdzie  $\Psi_{ph,\lambda} = \frac{P_\lambda}{h c \lambda} \quad [s^{-1} m^{-1}]$

to liczba fotonów o energii  $hc/\lambda$  emitowanych przez źródło o mocy  $P_\lambda$  [W/m] w jednostce czasu (ang. *spectral photon flow*)



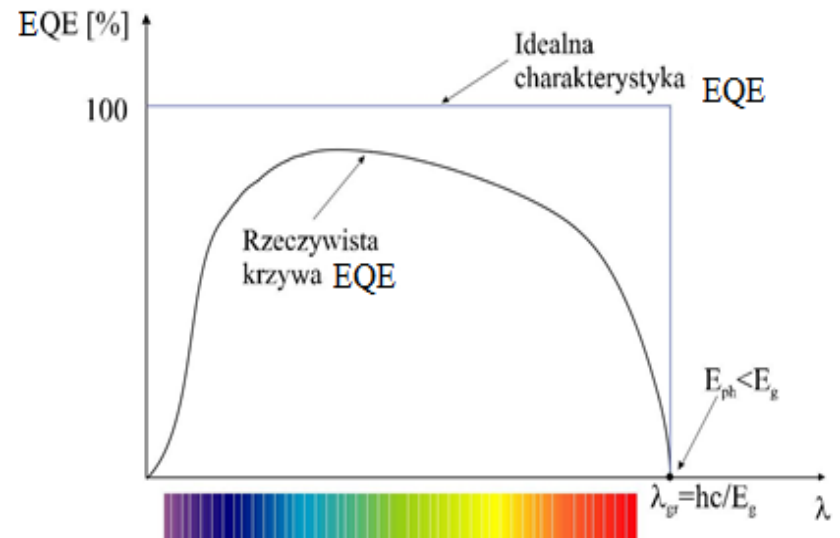
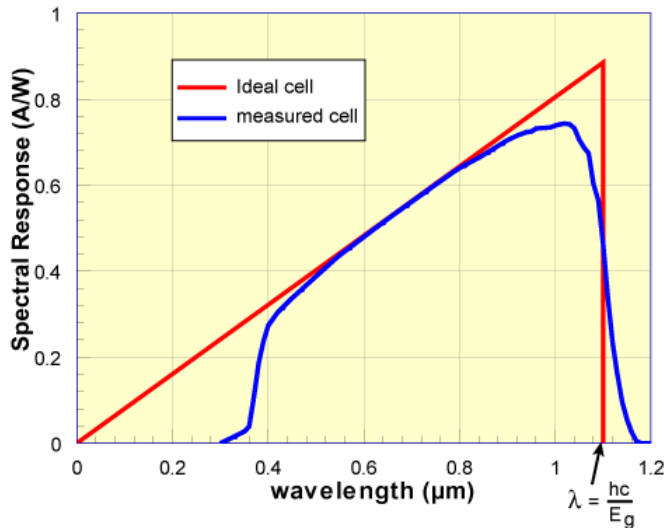
# Wydajność kwantowa

Zewnętrzna wydajność kwantowa:  
stosunek liczby elektronów do liczby fotonów

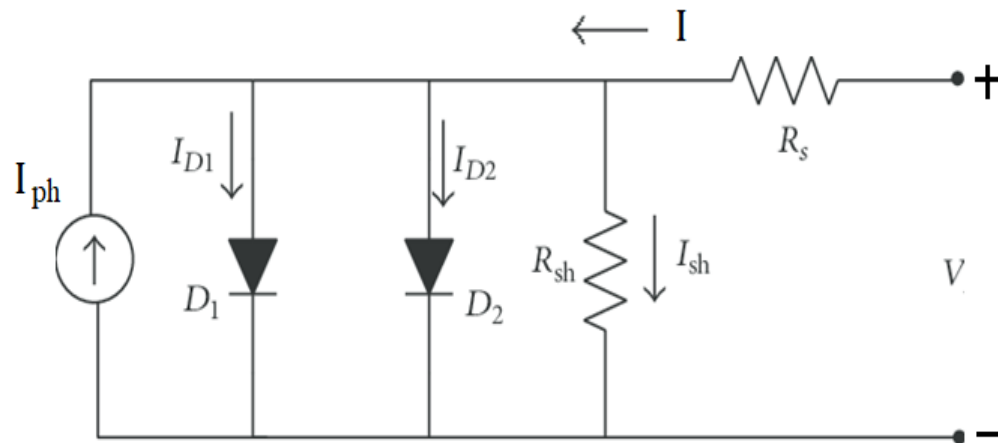
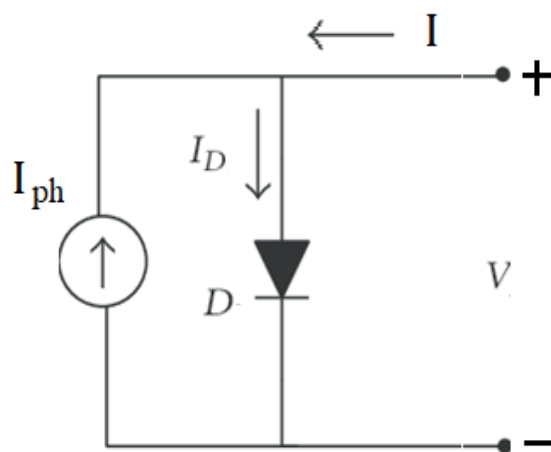
$$S_R(\lambda) = \frac{I_{ph}(\lambda)}{\Psi_{ph,\lambda} h c \Delta \lambda} \cdot \lambda$$

$$I_{ph}(\lambda) = EQE(\lambda) q \Psi_{ph,\lambda} \Delta \lambda$$

$$EQE(\lambda) = \frac{I_{ph}(\lambda)}{q \Psi_{ph,\lambda} \Delta \lambda} = \frac{S_R(\lambda) h c}{q \lambda} \quad [\%]$$



# Rzeczywista charakterystyka I – V

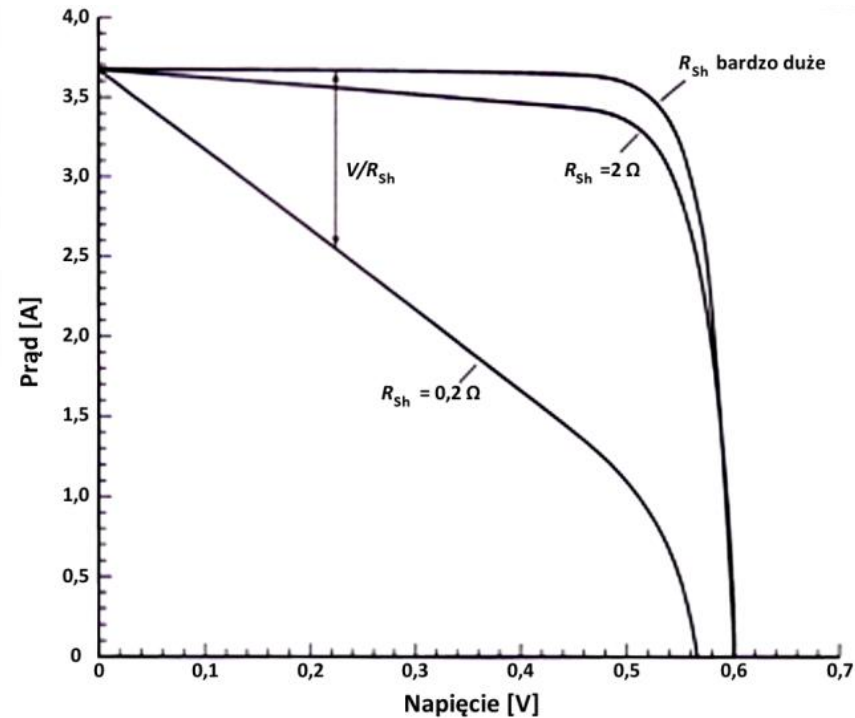


$$J = J_{01} \left[ e^{\frac{q(V-AJR_S)}{kT}} - 1 \right] + J_{02} \left[ e^{\frac{q(V-AJR_S)}{2kT}} - 1 \right] + \frac{V-AJR_S}{R_{sh}} - J_{ph}$$

$$V_{oc}(T) = \frac{E_g(0)}{q} - \frac{kT}{q} \ln\left(\frac{BT^\zeta}{I_{sc}}\right)$$

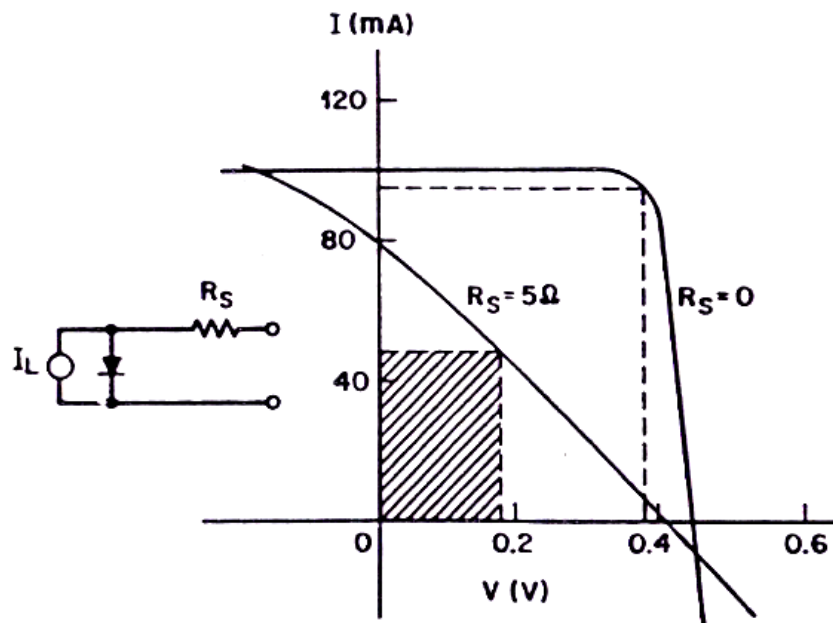


# Oporność upływu



**Wpływ oporności upływu  $R_{sh}$  na charakterystykę I-V baterii słonecznej**

# Oporność szeregowa



**Rzeczywista charakterystyka I – V  
baterii słonecznej.  $R_s$  – oporność  
szeregowa.**

# Wpływ temperatury

- Na napięcie rozwarcia:  $V_{oc} = \frac{kT}{q} \ln\left(\frac{J_{ph}}{J_0} + 1\right)$

Dla złącza p+-n

$$J_0 \approx \frac{qD_p p_{n0}}{L_p} = q \sqrt{\frac{D_p}{\tau_p} \frac{n_i^2}{N_D}} \propto T^{\frac{\gamma}{2}} \cdot T^3 \exp\left(-\frac{E_g}{kT}\right)$$

$$L_p = \sqrt{D_p \tau_p}$$

$$D_p / \tau_p \sim T^\gamma$$

$$V_g = \frac{E_g}{q} \quad \frac{dV_{oc}}{dT} = \frac{V_{oc} - V_g}{T} - \frac{\gamma + 3}{2} \cdot \frac{k}{q}$$

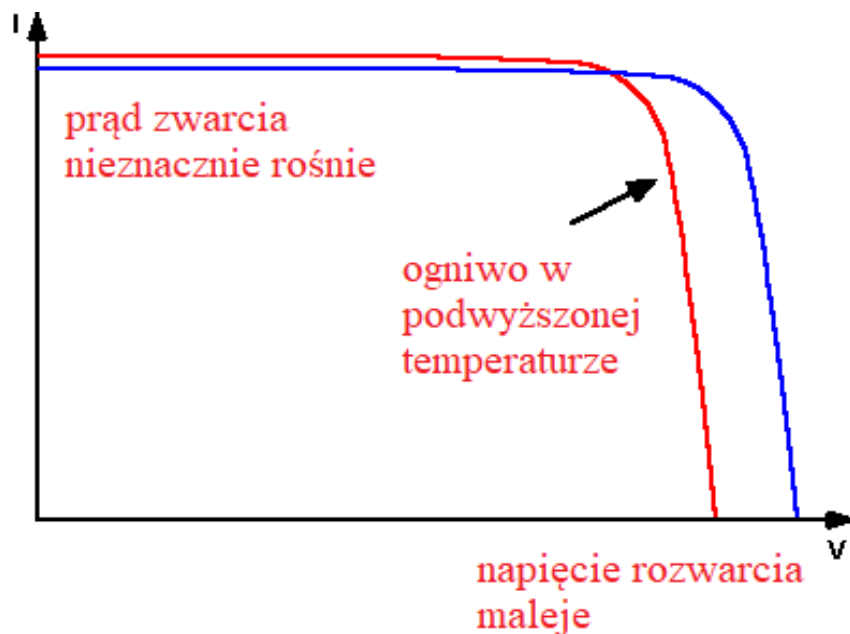
$$\text{dla Si } \frac{dV_{oc}}{dT} = -2,2 \frac{mV}{^\circ\text{C}}$$

- Na prąd zwarcia:

Prąd zwarcia rośnie ze wzrostem temperatury, głównie ze względu na zmniejszenie się przerwy wzbronionej półprzewodnika ze wzrostem temperatury. Dla Si względna zmiana prądu zwarcia przypadająca na 1°C wynosi:

$$\frac{1}{I_{sc}} \frac{dI_{sc}}{dT} \approx 0,0006/^\circ\text{C}$$

# Wpływ temperatury



- Względna zmiana współczynnika wypełnienia przypadająca na 1°C dla ogniwa Si

$$\frac{1}{FF} \frac{dFF}{dT} \approx \left( \frac{1}{V_{oc}} \frac{dV_{oc}}{dT} - \frac{1}{T} \right) \approx -0,0015/^\circ\text{C}$$

- Względna zmiana mocy w maksimum, przypadająca na 1°C dla ogniwa Si

$$\frac{1}{P_M} \frac{dP_M}{dT} \approx - \frac{0,004 \div 0,005}{^\circ\text{C}}$$

# Wydajność konwersji energii słonecznej

Wydajność konwersji energii słonecznej ogniwa słonecznego to stosunek uzyskanej energii elektrycznej do energii światła słonecznego

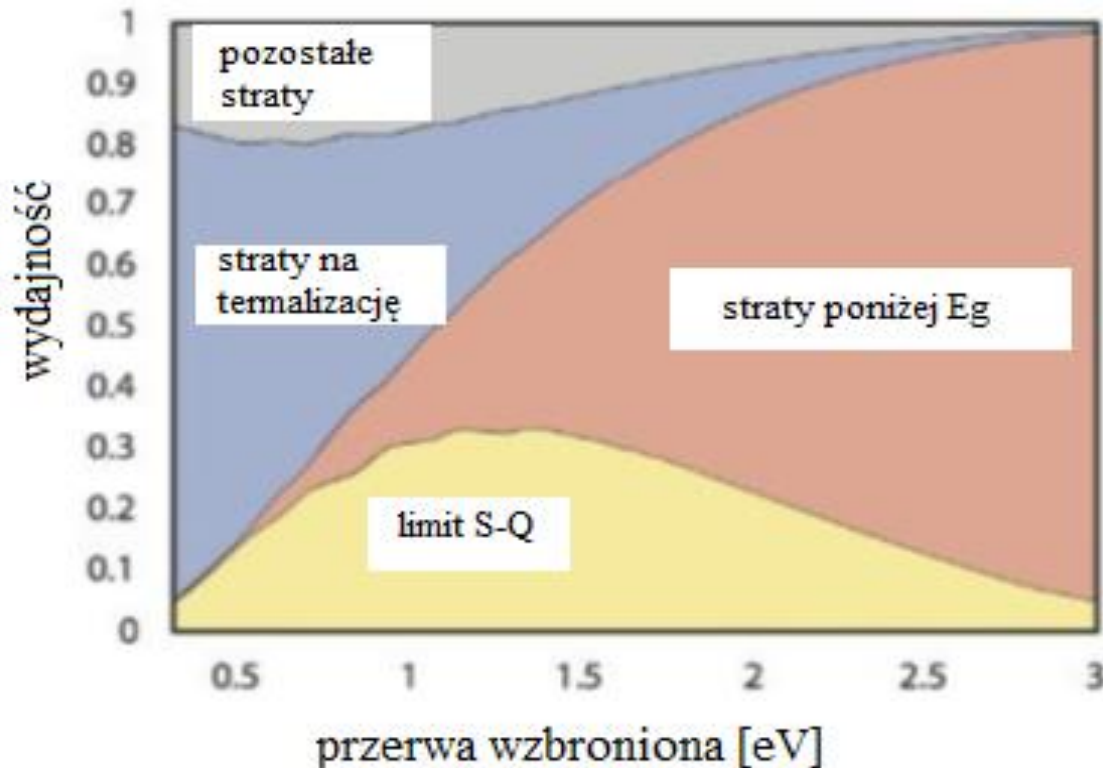
$$\eta = \frac{P_{wy}}{P_{in}}$$

$$\eta_{całkowite} = \eta_{absorpcja} \times \eta_{kreacja} \times \eta_{dryft/dyf} \times \eta_{separ} \times \eta_{zbierania}$$

- $\eta_{absorpcja}$  określa w jakim stopniu światło padające na ogniwo zostanie zaabsorbowane,
- $\eta_{kreacja}$  definiuje procent fotonów, które wygenerują nośniki,
- $\eta_{dryft/dyf}$  stanowi o tym, na ile nośniki wygenerowane światłem będą w stanie dotrzeć do obszaru złącza,
- $\eta_{separ}$  – jaka będzie zdolność złącza do rozdzielenia nośników
- $\eta_{zbierania}$  – w jakim stopniu nośniki rozseparowane polem elektrycznym złącza dotrą do odpowiednich elektrod zbierających.

# Granica Shockley'a-Queissera:

- Fotony o energii mniejszej niż przerwa wzbroniona nie są wykorzystywane
- Ogniwo nie tylko absorbuje ale również emituje fotony (w  $T=300\text{K}$ )
- Fotony o energii większej niż przerwa wzbroniona nie są wykorzystywane efektywnie. Zanim nośniki wezmą udział w transporcie ulegają termalizacji, tzn. oddają nadmiar energii sieci krystalicznej.

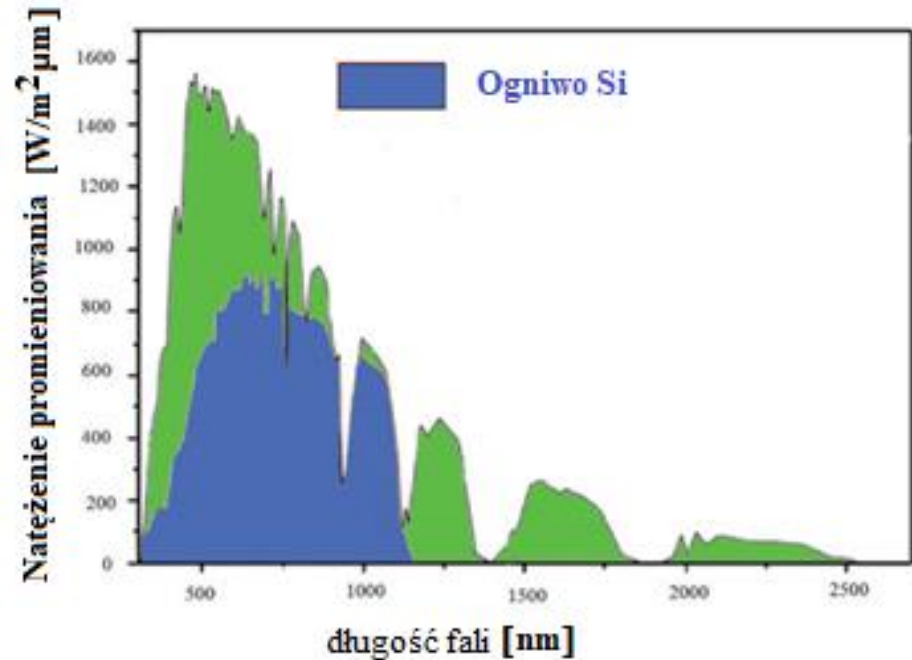


Obliczenia dla półprzewodnika z prostą przerwą wzbronioną, przy oświetleniu AM1,5

# Niedopasowanie spektralne

- Fotony o energii mniejszej niż przerwa wzbroniona nie są wykorzystywane

$$p_{abs} = \frac{\int_0^{\lambda_g} \frac{hc}{\lambda} \Phi_{ph,\lambda} d\lambda}{\int_0^{\infty} \frac{hc}{\lambda} \Phi_{ph,\lambda} d\lambda}$$



gdzie  $\Phi_{ph,\lambda} = \frac{\Psi_{ph,\lambda}}{A}$  to widmowy strumień fotonów, zaś widmowe natężenie promieniowania  $I_{e,\lambda} = \Phi_{ph,\lambda} \cdot \frac{hc}{\lambda}$

# Straty sprawności w ogniwach

- termalizacja
- Część promieniowania zostanie stracona ze względu na efekt termalizacji. Polega on na tym, że fotony o energii  $E_f > E_g$  kreują wzbudzone pary elektron – dziura. Dopiero gdy te nośniki stermalizują, tzn. znajdą się odpowiednio na dnie pasma przewodnictwa (elektrony) lub u wierzchołka pasma walencyjnego (dziury) będą mogły zostać rozseparowane i pojawi się fotoprąd (gdy złącze jest zwarte) lub fotonapięcie (gdy złącze jest rozwarte). W procesie termalizacji nośniki oddają nadmiar energii np. na drodze rekombinacji niepromienistej.

$$p_{uzyt} = \frac{E_g \int_0^{\lambda_g} \Phi_{ph,\lambda} d\lambda}{\int_0^{\lambda_g} \frac{hc}{\lambda} \Phi_{ph,\lambda} d\lambda}$$



# Straty sprawności w ogniwach

- Część energii przerwy wzbronionej, która zostanie przetworzona na napięcie rozwarcia jest dana wzorem:

$$\eta_V = \frac{qV_{oc}}{E_g}$$

- Należy jeszcze uwzględnić straty związane ze współczynnikiem wypełnienia FF. Dla ogniwa krzemowego:

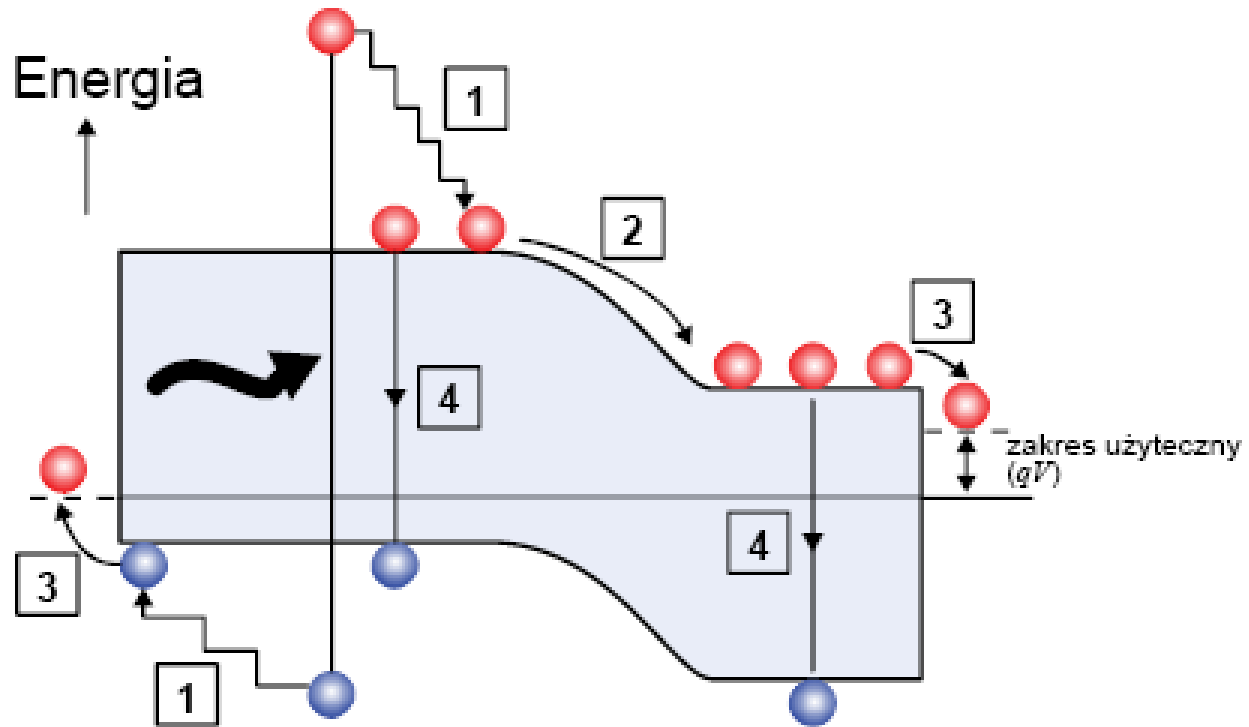
$$FF = \frac{v_{oc} - \ln(v_{oc} + 0.72)}{v_{oc} + 1}$$

$$V_{oc} = \frac{k_B T}{q} \ln \left( \frac{J_{ph}}{J_0} + 1 \right)$$

$$v_{oc} = \frac{V_{oc}}{kT}$$

$$\eta = p_{abs} \cdot p_{uzyt} \cdot \eta_V \cdot FF$$

# Straty sprawności w ogniwach



**1 – termalizacja**

**2 i 3 - straty na złączu i na kontaktach**

**4 - straty na rekombinację**

# Straty - ostatecznie

$$\eta = \frac{\int_0^{\lambda_g} \frac{hc}{\lambda} \Phi_{ph,\lambda} d\lambda}{\int_0^{\infty} \frac{hc}{\lambda} \Phi_{ph,\lambda} d\lambda} \cdot \frac{E_g \int_0^{\lambda_g} \Phi_{ph,\lambda} d\lambda}{\int_0^{\lambda_g} \frac{hc}{\lambda} \Phi_{ph,\lambda} d\lambda} \cdot (1 - R^*) \cdot IQE_{opt}^* \cdot \eta_g^* \cdot IQE_{el}^* \cdot \frac{A_f}{A_c} \cdot \frac{eV_{oc}}{E_g} \cdot FF$$

- Pierwszy człon - straty związane z krawędzią absorpcji – fotony o energii mniejszej niż przerwa wzbroniona nie są absorbowane.
- Drugi człon – straty związane z termalizacją nośników. Energia fotonów o energii większej od przerwy wzbronionej jest tracona w procesie rekombinacji niepromienistej.
- Trzeci – część światła padającego na ogniwo nie jest absorbowana ponieważ odbija się.
- Czwarty – straty wynikające z ograniczonej absorpcji światła ze względu na niedostateczną grubość ogniwa.
- Piąty – wydajność kwantowa generacji nośników
- Szósty – nie wszystkie nośniki wygenerowane światłem docierają do odpowiednich elektrod zbierających ponieważ ulegają rekombinacji.
- Siódmy – część oświetlanej powierzchni jest zasłonięta przez nieprzezroczyste elektrody zbierające.
- Ósmy – napięcie rozwarcia jest zawsze mniejsze od przerwy wzbronionej
- Dziewiąty – współczynnik wypełnienia.

# Zadanie

Monokrystaliczne ogniwo krzemowe generuje fotoprąd  $j_f = 35 \text{ mA/cm}^2$ .

Koncentracja akceptorów w warstwie typu p wynosi  $10^{17} \text{ cm}^{-3}$ . Koncentracja donorów w emiterze wynosi  $10^{19} \text{ cm}^{-3}$ . Długość drogi dyfuzji nośników mniejszościowych, odpowiednio elektronów w warstwie typu p i dziur w warstwie typu n, wynosi odpowiednio  $500 \cdot 10^{-6} \text{ m}$  i  $10 \cdot 10^{-6} \text{ m}$ . Koncentracja samoistna w Si w  $T=300\text{K}$  jest równa  $1.5 \cdot 10^{10} \text{ cm}^{-3}$ . Ruchliwość elektronów w warstwie typu p i dziur w warstwie typu n, wynosi odpowiednio  $\mu_n = 1000 \text{ cm}^2/\text{Vs}$  i  $\mu_p = 100 \text{ cm}^2/\text{Vs}$ . Załóż, że dioda spełnia równanie Shockley'a.

Natężenie oświetlenia  $1000 \text{ W/m}^2$ . Oblicz:

- Potencjał wbudowany
- Napięcie rozwarcia
- Sprawność ogniwa

Odp.

- 0.93V
- 0.67V
- 19.7%